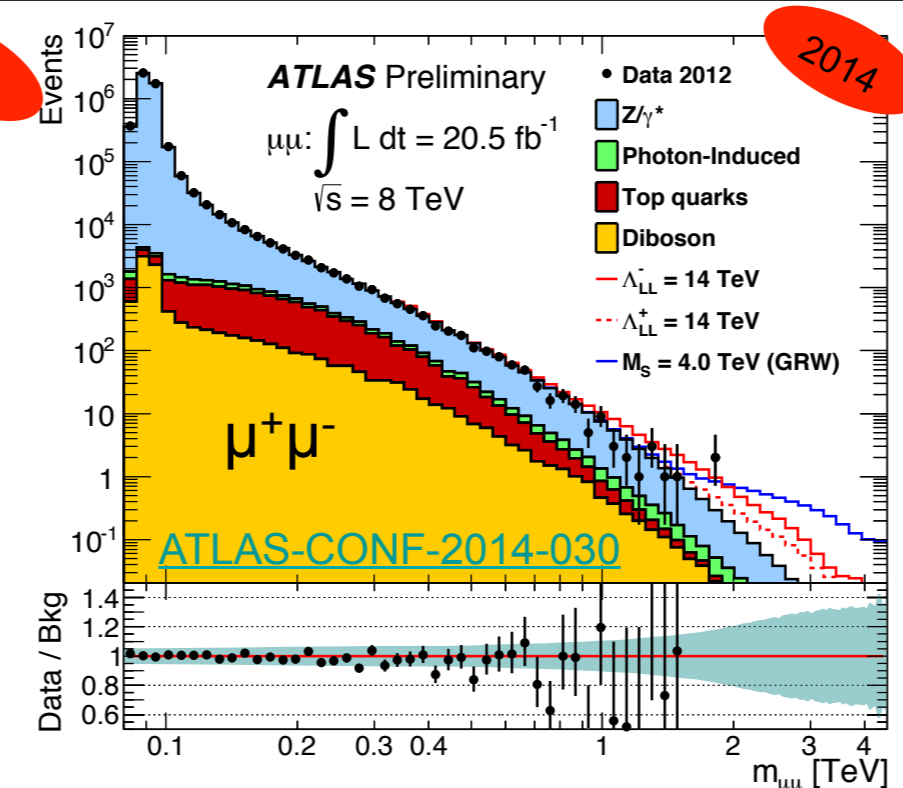
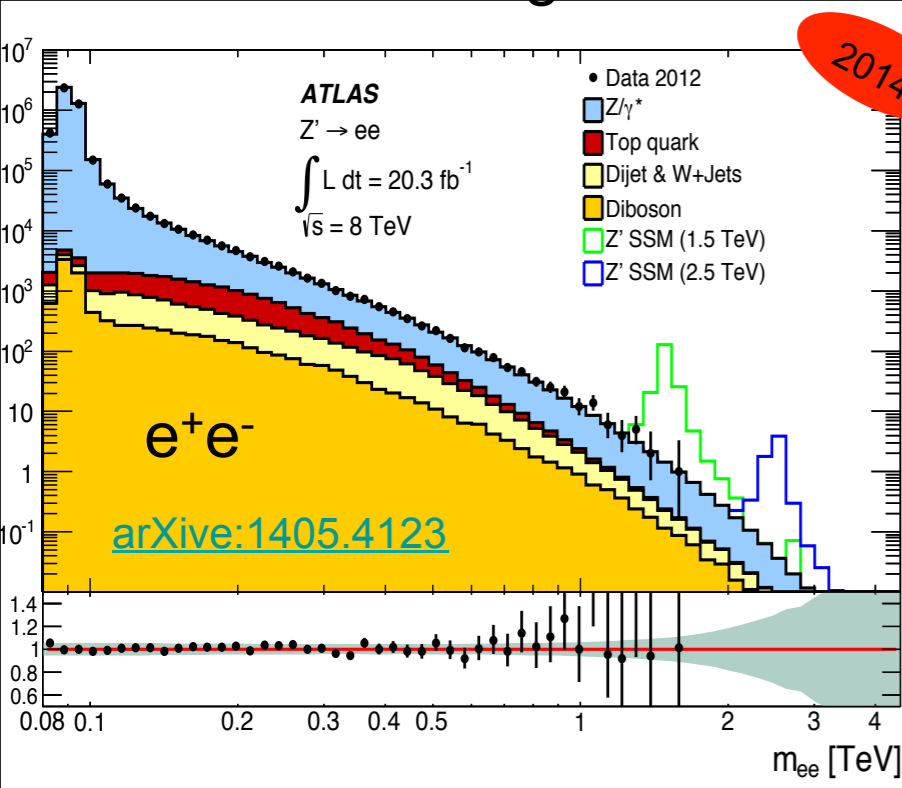


A la recherche de la Nouvelle Physique





Première possibilité : des résonances

Z' ruled out up to ~ 2.9TeV

CI ruled out up to $\Lambda \sim 26\text{TeV}$

$$\mathcal{L} = \frac{g^2}{\Lambda^2} \dots$$

- Des particules lourdes qui se désintègrent à l'intérieur du détecteur en des ensembles de particules observables (pics de masse invariante)
- On peut les produire toutes seules (par ex Z') ou par paires (par ex quarks lourds)
- Pas d'observation -> des limites sur les masses

Final State	Highest mass event	Highest mass limit
2x(top jet)	~1.2TeV	0.8TeV
2x(bZ(II))	>1TeV	0.7TeV
2x(jjj)	~1.9TeV	0.65TeV
2x(jjb)	~1.7TeV	0.835TeV
2x(top tau)	$S_T \sim 0.8\text{TeV}$	0.55TeV
2x(tau b)	~0.85TeV	0.74TeV
2x(mu jet)	~1.2TeV	1.07TeV

HEP 2014

15

ATLAS Exotics Searches* - 95% CL Exclusion
Status:ICHEP 2014

ATLAS Preliminary
 $\int \mathcal{L} dt = (1.0 - 20.3) \text{ fb}^{-1}$ $\sqrt{s} = 7, 8 \text{ TeV}$

Model	ℓ, γ	Jets	E_T^{miss}	$\int \mathcal{L} dt [\text{fb}^{-1}]$	Mass limit	Reference	
Extra dimensions	ADD $G_{KK} + g/q$	-	1-2 j	Yes	4.7	M_D 4.37 TeV	$n=2$ 1210.4491
	ADD non-resonant $\ell\ell$	$2e, \mu$	-	-	20.3	M_S 5.2 TeV	$n=3 \text{ HLZ}$ ATLAS-CONF-2014-030
	ADD QBH $\rightarrow \ell q$	$1e, \mu$	1 j	-	20.3	M_{BH} 5.2 TeV	$n=6$ 1311.2006
	ADD QBH	-	2 j	-	20.3	M_{BH} 5.82 TeV	$n=6$ to be submitted to PRD
	ADD BH high N_{trk}	2μ (SS)	-	-	20.3	M_{BH} 5.7 TeV	$n=6, M_D = 1.5 \text{ TeV}$, non-rot BH 1308.4075
	ADD BH high Σp_T	$\geq 1e, \mu$	$\geq 2j$	-	20.3	M_{BH} 6.2 TeV	$n=6, M_D = 1.5 \text{ TeV}$, non-rot BH 1405.4254
	RS1 $G_{KK} \rightarrow \ell\ell$	$2e, \mu$	-	-	20.3	G_{KK} mass 2.68 TeV	$k/\overline{M}_{Pl} = 0.1$ 1405.4123
	RS1 $G_{KK} \rightarrow WW \rightarrow \ell\nu\ell\nu$	$2e, \mu$	-	Yes	4.7	G_{KK} mass 1.23 TeV	$k/\overline{M}_{Pl} = 0.1$ 1208.2880
	Bulk RS $G_{KK} \rightarrow ZZ \rightarrow \ell\ell qq$	$2e, \mu$	$2j/1j$	-	20.3	G_{KK} mass 730 GeV	$k/\overline{M}_{Pl} = 1.0$ ATLAS-CONF-2014-039
	Bulk RS $G_{KK} \rightarrow HH \rightarrow b\bar{b}b\bar{b}$	-	4 b	-	19.5	G_{KK} mass 590-710 GeV	$k/\overline{M}_{Pl} = 1.0$ ATLAS-CONF-2014-005
Bulk RS $g_{KK} \rightarrow t\bar{t}$	$1e, \mu$	$\geq 1b, \geq 1J/2$	Yes	14.3	g_{KK} mass 2.0 TeV	$BR = 0.925$ ATLAS-CONF-2013-052	
S^1/Z_2 ED	$2e, \mu$	-	-	5.0	$M_{KK} \approx R^{-1}$ 4.71 TeV	1209.2535	
UED	2γ	-	Yes	4.8	Compact, scale R^{-1} 1.41 TeV	ATLAS-CONF-2012-072	
bosons	SSM $Z' \rightarrow \ell\ell$	$2e, \mu$	-	-	20.3	Z' mass 2.9 TeV	1405.4123
	SSM $Z' \rightarrow \tau\tau$	2τ	-	-	19.5	Z' mass 1.9 TeV	ATLAS-CONF-2013-066
	SSM $W' \rightarrow \ell\nu$	$1e, \mu$	-	Yes	20.3	W' mass 3.28 TeV	ATLAS-CONF-2014-017
	SSM $W' \rightarrow \ell\nu$	$2e, \mu$	-	Yes	20.3	W' mass 3.28 TeV	ATLAS-CONF-2014-017
LQ	Scalar LQ 1 st gen	$2e$	$\geq 2j$	-	1.0	LQ mass 660 GeV	$\beta=1$ 1112.4828
	Scalar LQ 2 nd gen	2μ	$\geq 2j$	-	1.0	LQ mass 685 GeV	$\beta=1$ 1203.3172
	Scalar LQ 3 rd gen	$1e, \mu, 1\tau$	$1b, 1j$	-	4.7	LQ mass 534 GeV	$\beta=1$ 1303.0526
Heavy quarks	Vector-like quark $TT \rightarrow Ht + X$	$1e, \mu$	$\geq 2b, \geq 4j$	Yes	14.3	T mass 790 GeV	T in (T,B) doublet ATLAS-CONF-2013-018
	Vector-like quark $TT \rightarrow Wb + X$	$1e, \mu$	$\geq 1b, \geq 3j$	Yes	14.3	T mass 670 GeV	T in (T,B) doublet ATLAS-CONF-2013-060
	Vector-like quark $TT \rightarrow Zt + X$	$2/\geq 3e, \mu$	$\geq 2/\geq 1b$	-	20.3	T mass 735 GeV	isospin singlet ATLAS-CONF-2014-036
	Vector-like quark $BB \rightarrow Zb + X$	$2/\geq 3e, \mu$	$\geq 2/\geq 1b$	-	20.3	B mass 755 GeV	B in (B,Y) doublet ATLAS-CONF-2014-036
	Vector-like quark $BB \rightarrow Wt + X$	$2e, \mu$ (SS)	$\geq 1b, \geq 1j$	Yes	14.3	B mass 720 GeV	B in (T,B) doublet ATLAS-CONF-2013-051
Excited fermions	Excited quark $q^* \rightarrow q\gamma$	1γ	$1j$	-	20.3	q^* mass 3.5 TeV	only u^* and d^* , $\Lambda = m(q^*)$ 1309.3230
	Excited quark $q^* \rightarrow qg$	-	$2j$	-	20.3	q^* mass 4.09 TeV	only u^* and d^* , $\Lambda = m(q^*)$ to be submitted to PRD
	Excited quark $b^* \rightarrow Wt$	$1 \text{ or } 2e, \mu$	$1b, 2j \text{ or } 1j$	Yes	4.7	b^* mass 870 GeV	left-handed coupling 1301.1583
	Excited lepton $\ell^* \rightarrow \ell\gamma$	$2e, \mu, 1\gamma$	-	-	13.0	ℓ^* mass 2.2 TeV	$\Lambda = 2.2 \text{ TeV}$ 1308.1364

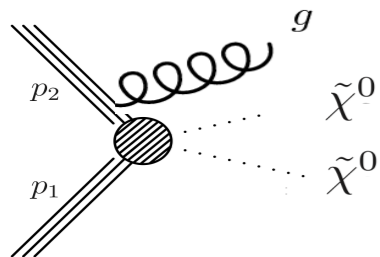
single

pair

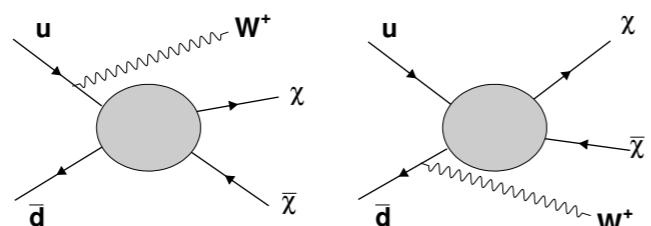


Mono-X Searches

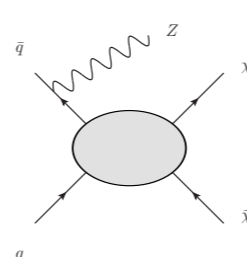
Jet recoil



W recoil



Z recoil



2014

Deuxième possibilité : de la matière noire

E_T^{miss} (GeV) \rightarrow	> 350	> 500
Z($\nu\nu$)+jets	5286 \pm 323	671 \pm 81
W+jets	2457 \pm 102	269 \pm 20
t \bar{t}	72 \pm 36	6 \pm 3.0
Z($\ell\ell$)+jets	18 \pm 9.0	2 \pm 1.0
Single t	20 \pm 10.0	1 \pm 0.5
QCD Multijets	23 \pm 11.5	1 \pm 0.5
Total SM	7875 \pm 341	949 \pm 83
Data	8056	894
Exp. upper limit	773	165
Obs. upper limit	882	135

Hadronic W,Z

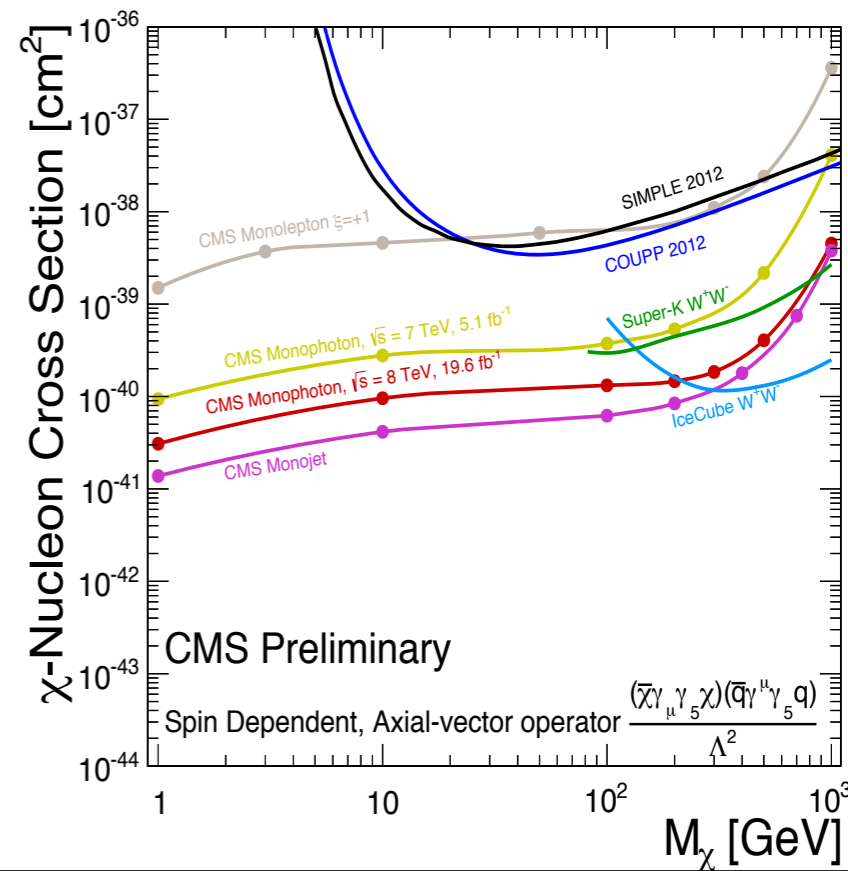
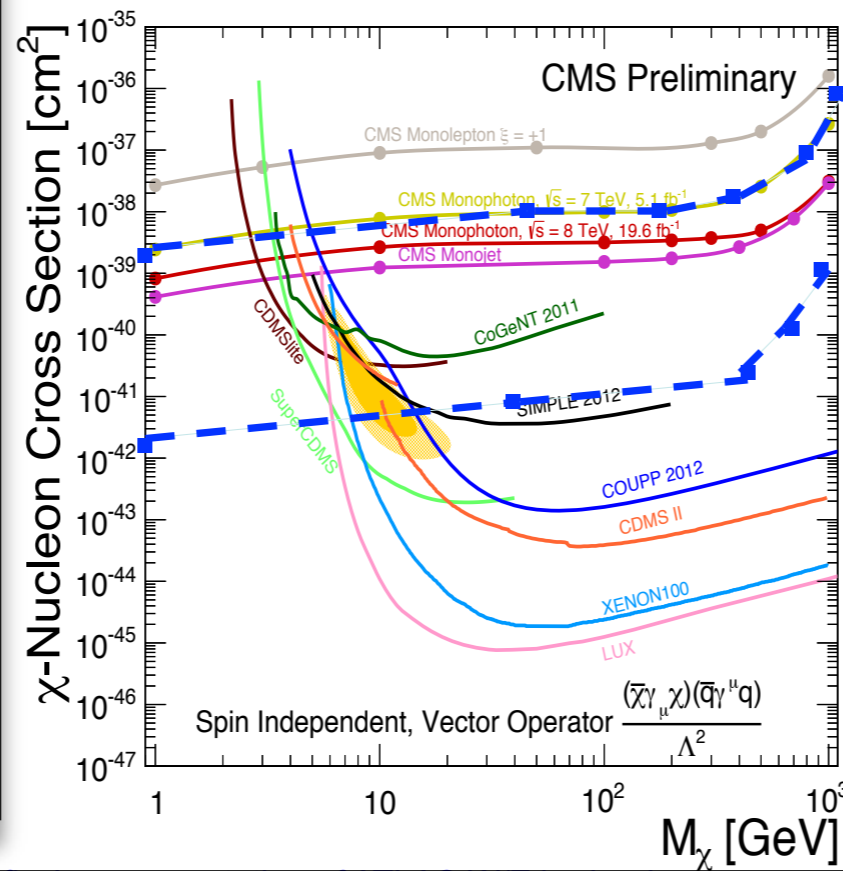
Process	$E_T^{miss} > 350$ GeV	$E_T^{miss} > 500$ GeV
Z \rightarrow $\nu\bar{\nu}$	402 ⁺³⁹ ₋₃₄	54 ⁺⁸ ₋₁₀
W \rightarrow $\ell^\pm\nu$, Z \rightarrow $\ell^\pm\ell^\mp$	210 ⁺²⁰ ₋₁₈	22 ⁺⁴ ₋₅
WW, WZ, ZZ	57 ⁺¹¹ ₋₈	9.1 ^{+1.3} _{-1.1}
t \bar{t} , single t	39 ⁺¹⁰ ₋₄	3.7 ^{+1.7} _{-1.3}
Total	707 ⁺⁴⁸ ₋₃₈	89 ⁺⁹ ₋₁₂
Data	705	89

Dilepton Z

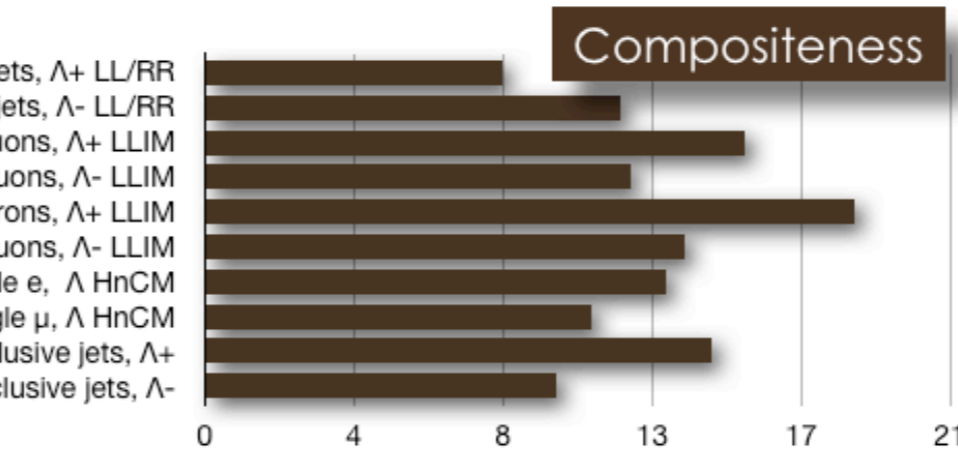
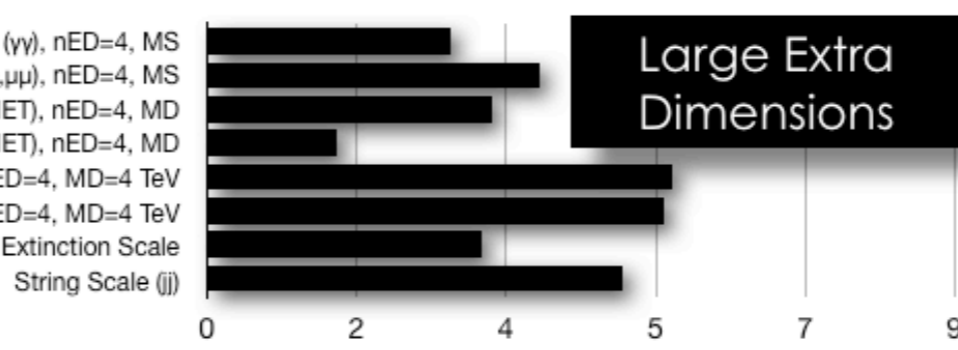
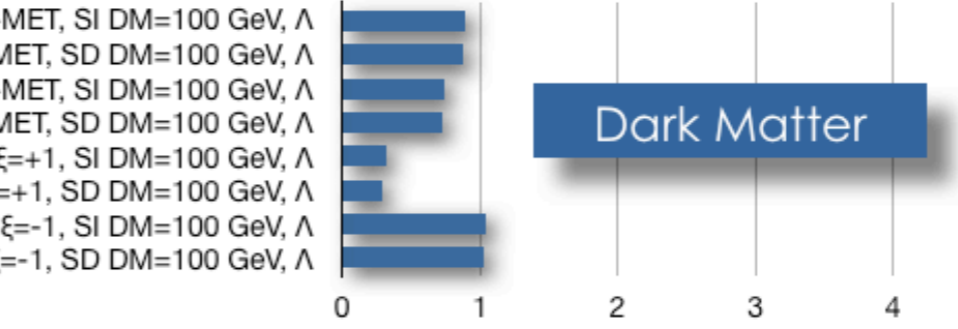
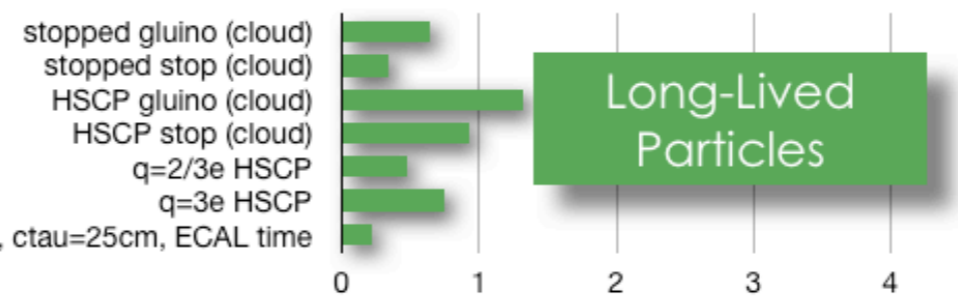
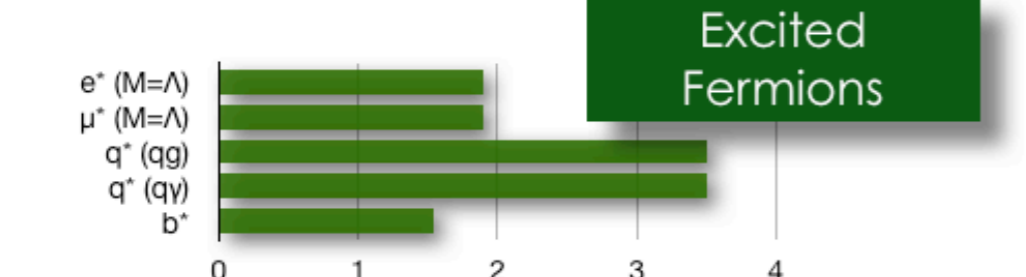
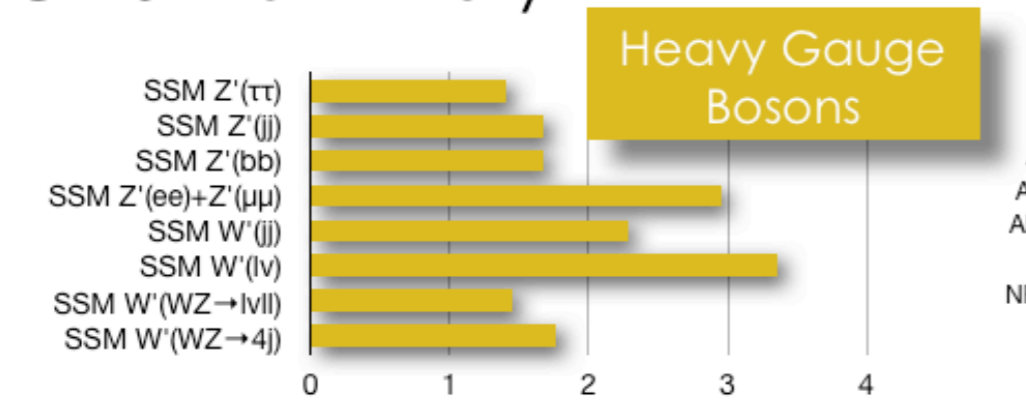
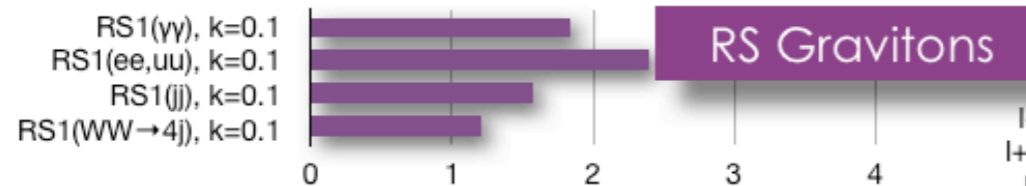
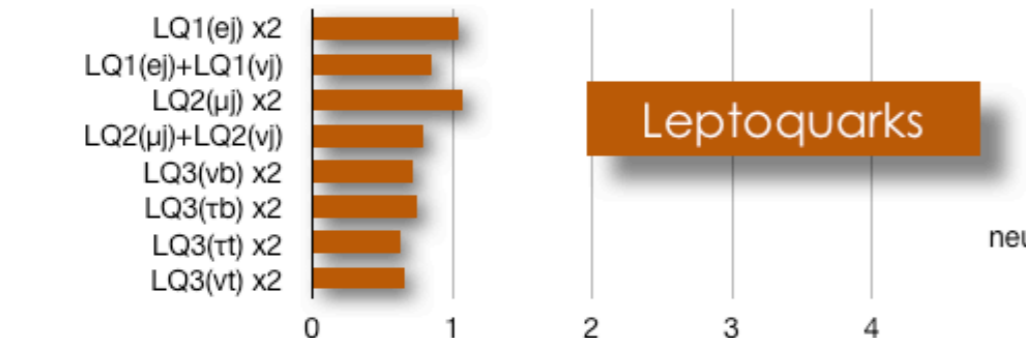
Process	E_T^{miss} threshold [GeV]			
	150	250	350	450
ZZ	41 \pm 15	6.4 \pm 2.4	1.3 \pm 0.5	0.3 \pm 0.1
WZ	8.0 \pm 3.1	0.8 \pm 0.4	0.2 \pm 0.1	0.1 \pm 0.1
WW, t \bar{t} , Z \rightarrow $\tau^+\tau^-$	1.9 \pm 1.4	0 ^{+0.7} _{-0.0}	0 ^{+0.7} _{-0.0}	0 ^{+0.7} _{-0.0}
Z+jets	0.1 \pm 0.1	-	-	-
W+jets	0.5 \pm 0.3	-	-	-
Total	52 \pm 18	7.2 \pm 2.8	1.4 \pm 0.9	0.4 ^{+0.7} _{-0.4}
Data	45	3	0	0

- Des particules lourdes qui ne se désintègrent pas à l'intérieur du détecteur
- Peuvent se manifester par de l'énergie manquante transverse si émise en même temps qu'une autre « particule » (W, Z, jet)
- Des limites sur les masses et les sections efficaces qui peuvent se comparer aux recherches hors accélérateur

Mono-X 90% C.L. limit Interpretations

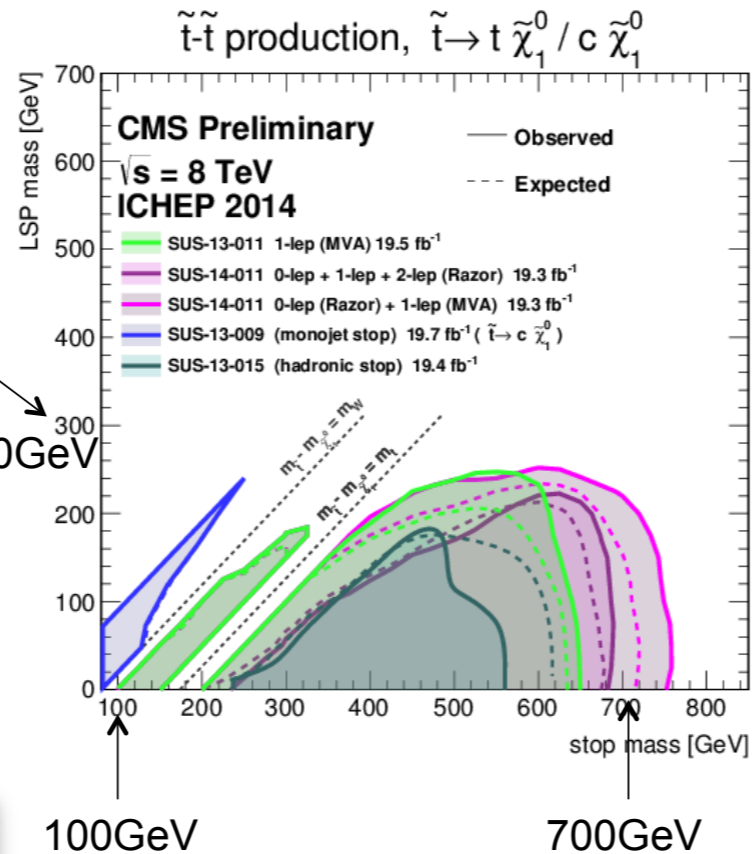
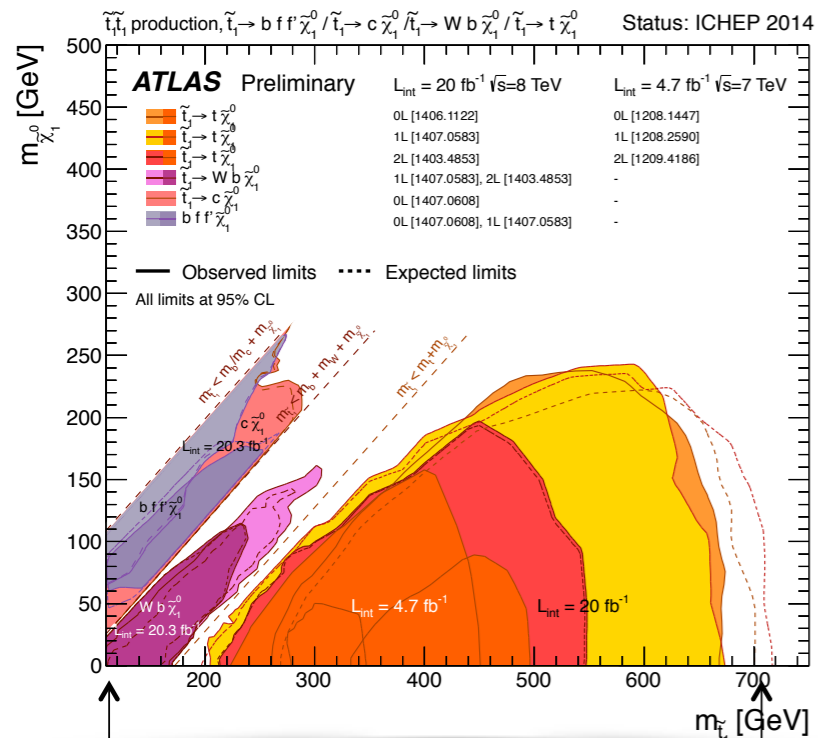


CMS Preliminary



Recherches résumées dans des contraintes sur les échelles de masses des résonances... dépendant du modèle choisi

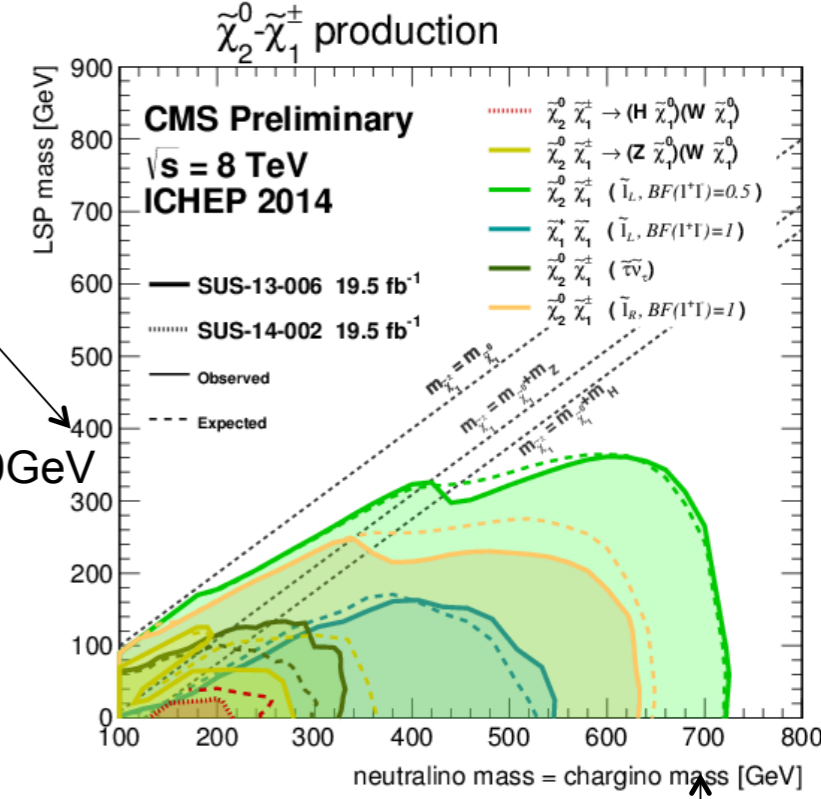
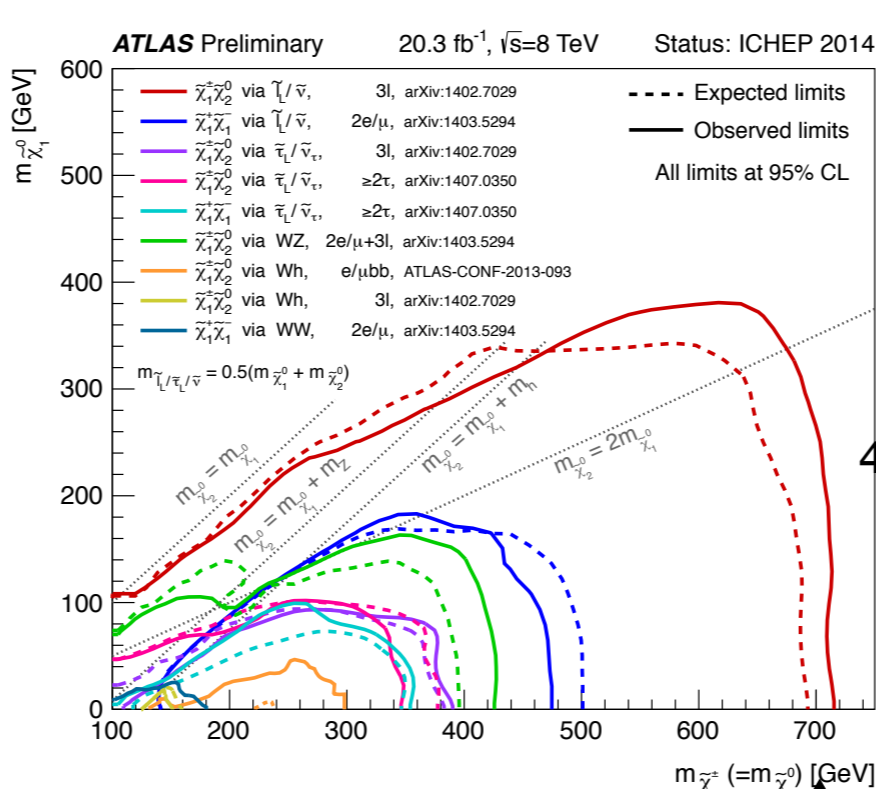
ATLAS & CMS Stop



Variation : des particules supersymétriques (par exemple les partenaires du top et des bosons de jauge électrofaibles)

- Des particules lourdes qui engendrent une cascade de désintégration, avec en bout de course des particules supersymétriques qui échappent à la détection.
- Interprétation possible dans des versions spécifiques de la supersymétrie, comme le Constrained Minimal Supersymmetric Standard Model

ATLAS & CMS Ewkinos

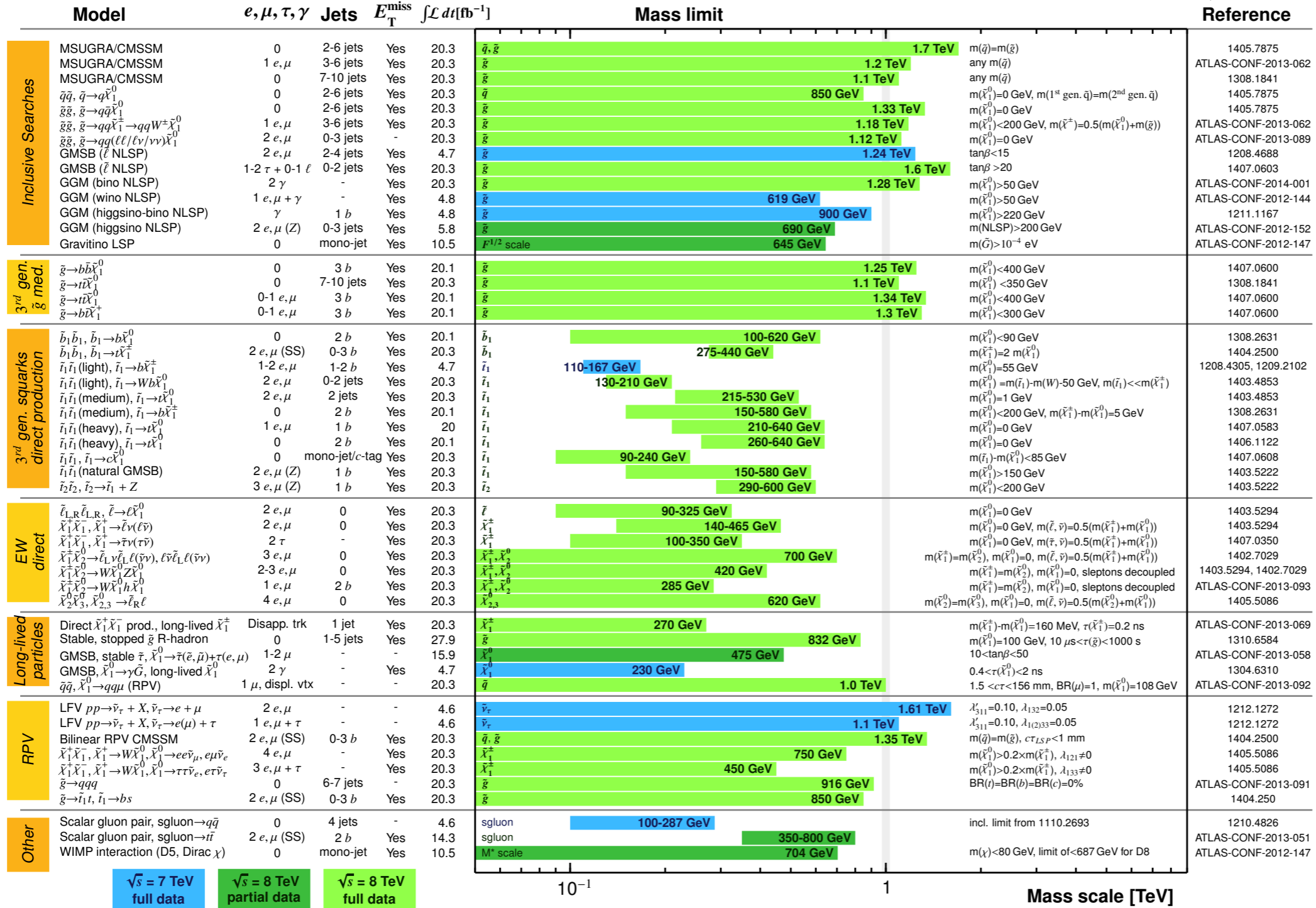


ATLAS SUSY Searches* - 95% CL Lower Limits

Status: ICHEP 2014

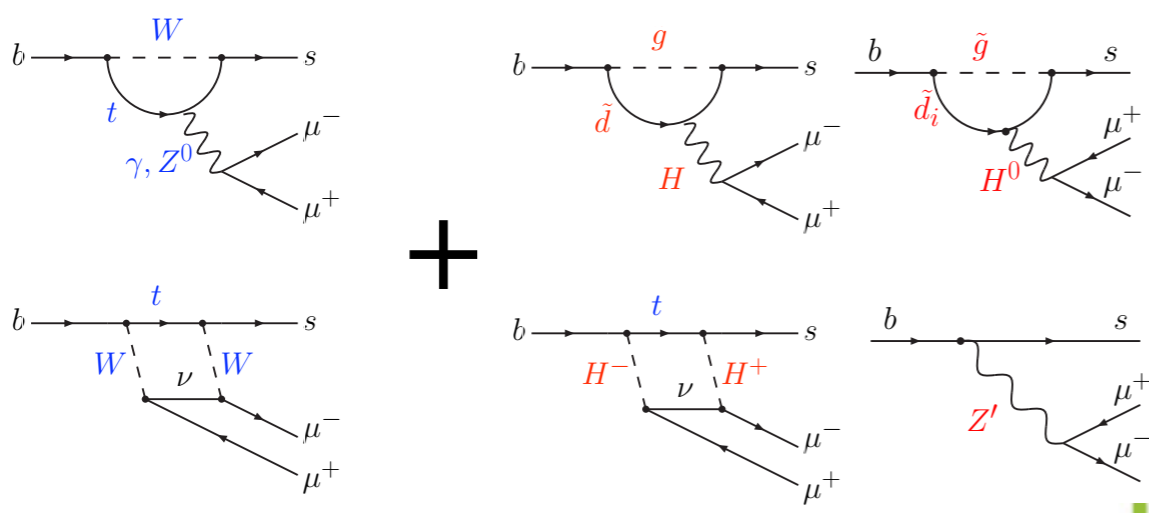
ATLAS Preliminary

$\sqrt{s} = 7, 8 \text{ TeV}$



*Only a selection of the available mass limits on new states or phenomena is shown. All limits quoted are observed minus 1σ theoretical signal cross section uncertainty.

Recherches résumées dans des contraintes sur les échelles de masses de résonances... dépendant du modèle choisi



$$A = A_0 \left(\frac{c_{SM}}{m_W^2} + \frac{c_{NP}}{\Lambda_{NP}^2} \right)$$

Une autre approche : processus de basse énergie, sensibles à des particules plus lourdes

What is the scale of Λ_{NP} ? What is its coupling c_{NP} ?

- Désintégrations du b observées à LHCb.
- Processus rares, supprimés dans le MS, potentiellement très sensibles aux effets de Nouvelle Physique
- Plusieurs déviations dans des processus b->s II (B->K*mu mu, B->K mu mu)
- Résultats récents sur l'universalité leptonique pour B->KII, déviant du MS

tu Test of lepton universality

- In the SM, couplings to all leptons are universal
- Test lepton universality in $B^+ \rightarrow K^+ \mu^+ \mu^- / B^+ \rightarrow K^+ e^+ e^-$

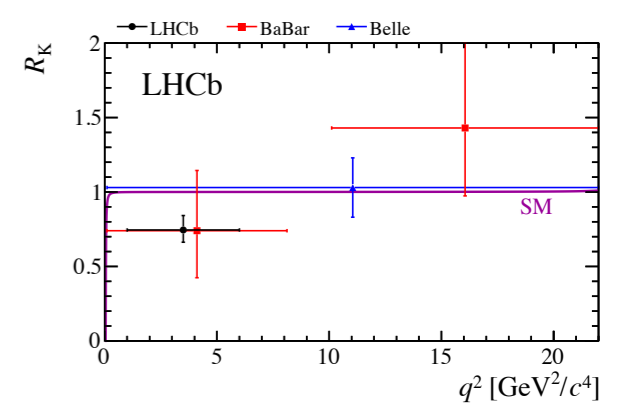
$$R_K = \frac{\int_{q^2=1}^{q^2=6 \text{ GeV}^2/c^4} (d\mathcal{B}[B^+ \rightarrow K^+ \mu^+ \mu^-]/dq^2) dq^2}{\int_{q^2=1}^{q^2=6 \text{ GeV}^2/c^4} (d\mathcal{B}[B^+ \rightarrow K^+ e^+ e^-]/dq^2) dq^2} \stackrel{\text{SM}}{=} 1 \pm \mathcal{O}(10^{-3}) \quad \text{SM: JHEP 12 (2007) 040}$$

tu Test of lepton universality

- Correct for bremsstrahlung using calorimeter photons ($E_T > 75 \text{ MeV}$)
- Migration of events into/out of the $1 < q^2 < 6 \text{ GeV}^2$ region corrected using MC
- Double ratio with resonant decay $B^+ \rightarrow J/\psi(e^+e^-) K^+$ measured
- In 3fb^{-1} LHCb determines

$$R_K = 0.745_{-0.074}^{+0.090} (\text{stat})_{-0.036}^{+0.036} (\text{syst})$$

(consistent with SM at 2.6σ)



LHCb-PAPER-2014-024 [Preliminary],
 Belle [PRL 103 (2009) 171801],
 BaBar [PRD 86 (2012) 032012]

Neutrinos, matière noire, et autres sujets à discussion



Three Neutrino Parameters

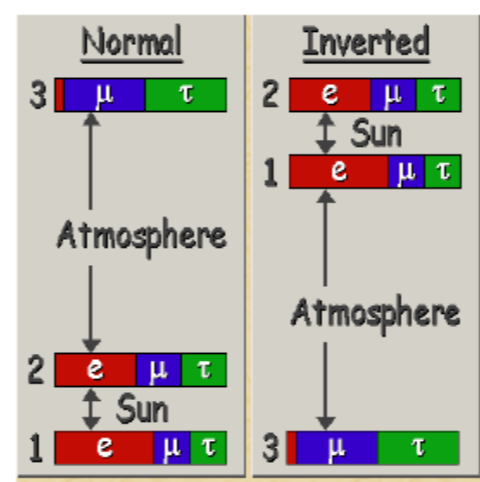
- 3 masses, 3 mixing angles and 1 Dirac +2 Majorana phases

$$\begin{pmatrix} \nu_e \\ \nu_\mu \\ \nu_\tau \end{pmatrix} = \begin{pmatrix} 1 & & \\ & c_{23} & s_{23} \\ & -s_{23} & c_{23} \end{pmatrix} \begin{pmatrix} c_{13} & & e^{-i\delta} s_{13} \\ & 1 & \\ -e^{i\delta} s_{13} & & c_{13} \end{pmatrix} \begin{pmatrix} c_{12} & s_{12} \\ -s_{12} & c_{12} \\ & & 1 \end{pmatrix} \begin{pmatrix} \nu_1 \\ \nu_2 \\ \nu_3 \end{pmatrix}$$

$c_{12} = \cos\theta_{12}$ etc., δ CP-violating phase

Combinaison d'expériences d'oscillation: apparition ou disparition, différentes longueurs, différentes sources...

- Oscillation experiments sensitive to mass squared differences $\Delta m_{21}^2 = m_2^2 - m_1^2, \Delta m_{31}^2 = m_3^2 - m_1^2$
- Two possible mass orderings
- Oscillation experiments not sensitive to Majorana phases



A snapshot of the oscillation experiments

New data in 2014

- New data from reactor experiments Double-Chooz, Daya-bay, Reno
- Excess around 5 MeV in RENO and Double-Chooz
- New data from ICECUBE, MINOS+, SK4 atmospheric
- SK4 1306 day energy and zenith spectrum for solar
- T2K disappearance data

